УДК 622.831.32

DOI:10.15372/FPVGN2020070142

ГЕОМЕХАНИЧЕСКОЕ СОСТОЯНИЕ МАССИВОВ ГОРНЫХ ПОРОД НА КАРЬЕРЕ АЛМАЗОНОСНОЙ ТРУБКИ "ЗАРНИЦА"

В. И. Востриков, С. Ю. Гаврилов

Институт горного дела им. Н. А. Чинакала СО РАН, E-mail: vvi.49@mail.ru, Красный проспект 54, г. Новосибирск 630091, Россия

На карьере алмазаносной трубки "Зарница" в 2019 г. для наблюдения за геомеханическим состоянием приразломных зон тектонических разломов на горизонтах + 380 и + 405 была развернута измерительно-вычислительная система в составе двух датчиков. Мониторинг проводился в период с 02.10.2019 по 28.11.2019. Измерения показали знакопеременные смещения геоблоков в приразломной зоне величиной до 3 мм, которые приводят со временем к обрушениям горной породы по тектоническим разломам бортовых откосов карьера.

Алмазоносный карьер, измерительно-вычислительная система, датчик, мониторинг, тектонический разлом, приразломная зона, смещение

GEOMECHANICAL STATE OF ROCK MASSES AT THE QUARRY OF THE ZARNITSA DIAMOND PIPE

V. I. Vostrikov and S. Yu. Gavrilov

Chinakal Institute of Mining, Siberian Branch, Russian Academy of Sciences, Russia, E-mail: vvi.49@mail.ru, Krasny prospect 54, Novosibirsk 630091, Russia

The measuring and computing system consisting of two sensors was deployed to monitor the geomechanical state of the near-fault zones of tectonic faults at horizons +380 and +405 at the quarry of the Zarnitsa diamond pipe in 2019. The monitoring was carried out from 02.10.2019 to 28.11.2019. The measurements demonstrated alternating displacements of geoblocks in the near-fault zones up to 3 mm in size, which lead to rock caving along tectonic faults of the side slopes of the quarry.

Diamond quarry, measuring and computing system, sensor, monitoring, tectonic fault, near-fault zone, displacement

Тектонические разломы присутствуют в любом горном массиве на любой территории. Именно к тектоническим разломам чаще всего приурочены месторождения полезных ископаемых — алмазов, металлических руд, углеводородов, подземных вод и др. В узле зон субмеридионального и субширотного тектонических разломов расположены трубки "Комсомольская", "Зарница", "Нюрбинская". Действующие силы в земной коре приводят к тому, что геологическая среда находится в движении, в напряженном состоянии. Эти движения обладают незначительной амплитудой, однако могут оказывать существенное воздействие как на массивы горных пород, так и на инженерные сооружения [1].

Поскольку горные породы всегда перенапряжены, они начинают деформироваться и разрушаться, что проявляется в виде квазилинейных нарушений сплошности, которые разделяют массив горных пород на блоки разного порядка. Масштаб нарушений заключен в весьма широком диапазоне размеров: от 10^{-8} м (дефекты кристаллической решетки породообразующих минералов) до 10^{7} м (протяженность крупных тектонических разрывов) [2].

Работа выполнена в рамках проекта ФНИ (№ гос. регистрации АААА-А17-117121140065-7).

Разломы, трещины, зоны дробления имеют обычно значительно более низкие эффективные прочностные и деформационные характеристики по сравнению с материалом блоков. Именно нарушения сплошности массива горных пород несут ответственность за многие механические, геологические и геофизические процессы и являются важнейшим элементом геосистем [2].

На периферии разлома находится зона влияния, ассоциирующаяся обычно с зоной повышенной, по сравнению с вмещающим массивом, плотностью трещин. Подобные зоны были выделены, детально описаны и названы зонами "динамического влияния разломов". Зону влияния иногда дифференцируют на подзоны интенсивной и повышенной трещиноватости [3, 4].

На границах этих структурных образований инструментально фиксируются деформации, амплитуда которых превышает на один-два порядка соответствующие значения в смежных объемах среды [5, 6]. При этом наблюдаются как медленные движения (их скорость обычно несколько мм/год), так и короткопериодные с более высокими скоростями смещения и периодами в месяцы, а иногда даже часы [7, 8]. Зоны повышенных деформаций оказываются подчас достаточно широкими и могут не совпадать с геологическими разломами [9]. Высокая поведенческая изолированность консолидированных блоковых структур является важнейшим свойством, определяющим способность геофизической среды к релаксации на разных масштабных уровнях. За счет квазинезависимых движений блоков осуществляется диссипация "избыточной" энергии, которой постоянно подпитывается литосфера вследствие экзогенных и эндогенных процессов [2].

Геофизическая характеристика карьера алмазоносной трубки "Зарница". Карьеры алмазоносных трубок в республике Саха (Якутия) расположены в зоне жестких климатический условий Сибири, и характеризуются сложным геомеханическим состоянием массивов горных пород, что отражается на состоянии бортовых откосов карьера. Карьер алмазоносной трубки "Зарница" находится на пересечении тектонических нарушений северного и северо-восточного направлений, ширина приразломных зон которых достигает несколько десятков метров. Северный борт карьера находится под влиянием водонасыщенного слоя. В 2017 г. на дневной поверхности этого борта для отвода вод был выполнен ров, в 2018 г. — работы по разносу северного борта.

Во время сезонного оттаивания, слой которого составляет 2.0-2.5 м от поверхности грунта происходят наиболее сильные блоковые подвижки, приводящие к обрушениям бортов карьера, что представляет непосредственную опасность при движении горной техники по транспортным магистралям. Для осуществления наблюдений за геомеханическим состоянием таких геологических систем необходимы многоканальные измерительные комплексы с большой измерительной базой.

Карьер алмазоносной трубки "Зарница" расположен от г. Удачного, где находится ГОК, на расстоянии около 15 км. На карьере в конце 2019 г. развернута измерительно-вычислительная система с тросиковым и лазерным датчиками [10]. Информация от системы передается по радио-каналу в Управление ГОКа в службу геотехнического мониторинга.

Описание установленной системы. Базовый вариант разработанной измерительно-вычислительной системы включает в себя два датчика, два ретранслятора, блок приема-передачи информации и оконечное приемное устройство с сервером. Схема установленной системы на карьере алмазоносной трубки "Зарница" представлена на рис. 1a, карта карьера с указанием мест установки датчиков — на рис. 1δ .

Для организации приема информации по радиосвязи в Центр сбора информации ЦСИ блоком приема-передачи информации БППИ от датчиков потребовалось установить на дневной поверхности карьера ретрансляторы Р1 и Р2, так как прямая радиовидимость между датчиками и БППИ отсутствует. От датчика Д1 информация передается сначала на ретранслятор Р2, а затем ретранслятор Р1. С ретранслятора Р1 информация с обоих датчиков поступает в блок приема-передачи информации БППИ, установленный в операторской карьера. Далее, информация передается в службу геомеханического мониторинга в административном здании ГОКа, расположенном в г. Удачный на расстоянии около 15 км от карьера.

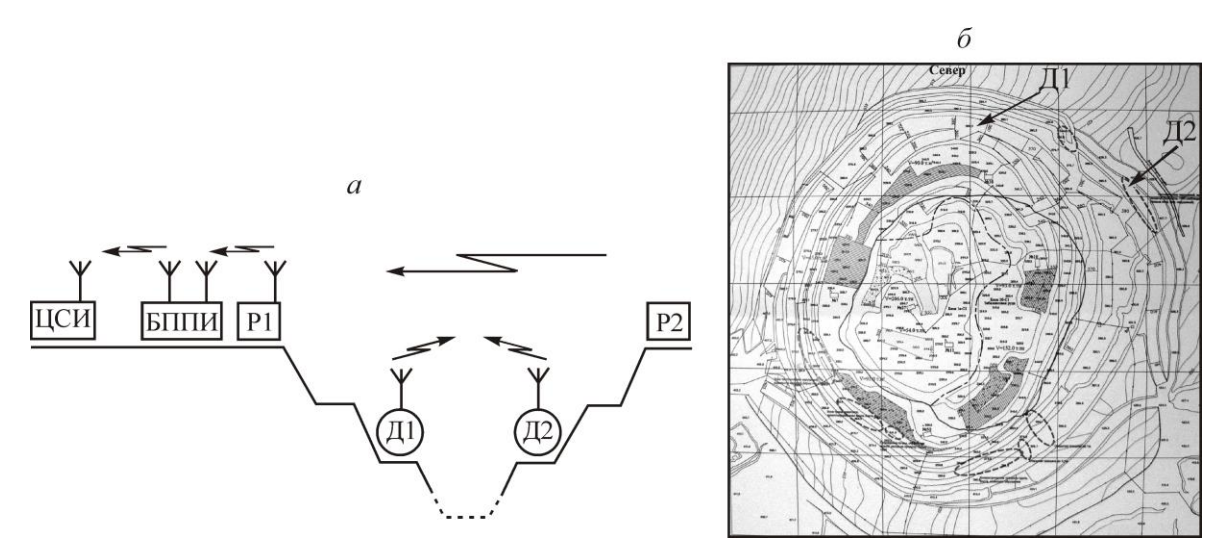


Рис. 1. Схема установленной системы (а) и карта карьера с указанием мест датчиков (б)

В датчике Д1 в качестве первичного преобразователя "смещение—напряжение" используется тросиковый потенциометр типа RX50, измерительная база равна 10 м. В датчике Д2 реализован принцип измерения расстояний с помощью лазерного излучателя-приемника и отражателя. Измерительная база составляет 69 м.

Результаты мониторинга по датчикам. Датчик Д1 установлен на северо-восточном борту карьера на гор. +380. Результаты мониторинга за период с 02.10.2019 по 28.11.2019 приведены на рис. 2.

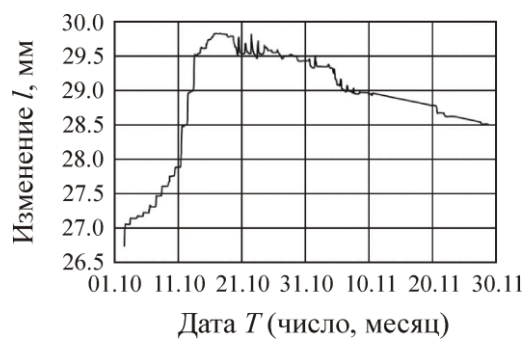


Рис. 2. Результаты мониторинга датчика Д1 в период с 02.10.2019 по 28.11.2019

В период с 02.10 по 17.10 наблюдается увеличение ширины приразломной зоны, изменение которой l составило +3.1 мм, скорость приращения — 0.2 мм/сут, затем в течение с 17.10 по 28.10 ширина зоны уменьшилась на 1.3 мм. Эти подвижки геоблоков в приразломной зоне северо-восточного борта карьера привели к обрушению на контролируемом участке бортового откоса на гор. +380 м (рис. 3).



Рис. 3. Обрушение горной массы на северо-восточном борту карьера

Датчик Д2 установлен на северном борту карьера на гор. +405 м. Время мониторинга по Д2 разделено на два периода: с 02.10.2019 по 10.11.2019 (рис. 4a) и с 19.11.2019 по 08.11.2019 (рис. 4b). За первый период изменение l ширины зоны характеризуется отрицательным трендом, максимальное составило порядка -2 мм, во втором периоде направление тренда сменилось на положительное и стало +2.7 мм.

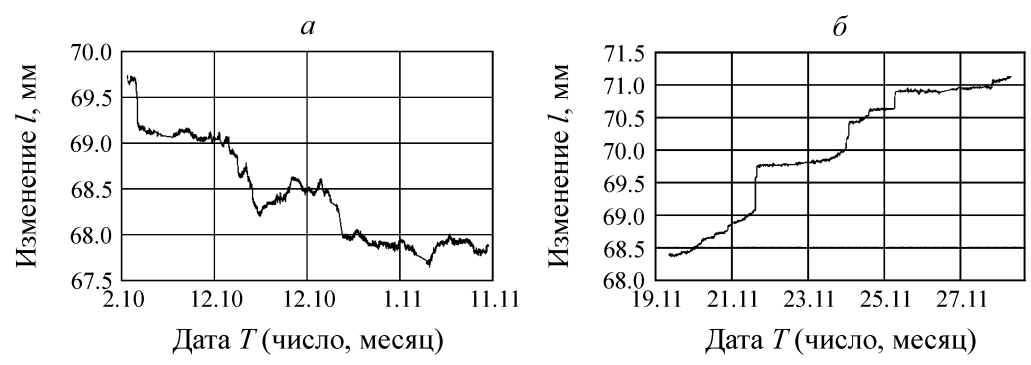


Рис. 4. Результаты мониторинга датчика Д2: a — 02.10.2019 – 10.11.2019; δ — 19.11.2019 – 28.11.2019

Анализируя информацию по этим двум датчикам, можно предположить, что "клин" массива горных пород карьера, образованный разломами северного и северо-восточного направлений, с 02.10 по 17.10 двигался на север со смещением 3.1 мм, а затем — на северо-восток со смещением 2 мм.

выводы

Карьер алмазоносной трубки "Зарница" расположен в месте пересечения квазиперпендикулярных тектонических разломов. Тектонические разломы характеризуются широким диапазоном ширины приразломной зоны, достигающей значений нескольких десятков метров. Для осуществления наблюдения за геомеханическим состоянием таких геологических систем необходимы измерительные комплексы с большой измерительной базой. Измерительно-вычислительная система, установленная на карьере, включает два измерительных датчика с базами 10 м и 69 м.

Измерения ширины приразломных зон трещиноватости проводились на бермах гор. +380 м и +405 м в северном и северо-восточном бортах карьера в период с 02.10.2019 по 28.11.2019 г.

Максимальные изменения ширины приразломной зоны по северном борту карьера гор. +380 м составило +3.1 мм, по северо-восточному на гор. +405 м — +3.4 мм. Зарегистрировано движение участка массивов горных пород между разломами на северном и северо-восточном бортах карьера сначала в северном, а затем в северо-восточном направлениях. Приращения смещений за период наблюдений составляют 2-3 мм. Знакопеременные движения приразломных геоблоков приводят со временем к обрушениям горной массы на участках тектонических разломов в бортовых откосах карьера.

СПИСОК ЛИТЕРАТУРЫ / REFERENCES

- 1. Sherman S. I. Tectonophysical parameters of lithosphere faults, selected methods of study and examples of use. Institute of the Earth's Crust SB RAS, Irkutsk, 2009. [Шерман С. И. Тектонофизические параметры разломов литосферы, избранные методы изучения и примеры использования. Иркутск: Институт земной коры СО РАН, 2009.]
- **2. Kocheryan G. G.** Fault geomechanics, Institute of Geosphere Dynamics, Moscow, 2016. [**Кочерян Г. Г.** Геомеханика разломов. М.: Институт динамики геосфер, 2016.]
- **3. Sherman S. I., Bornyakov S. A., and Buddo V. Yu.** Areas of dynamic influence of faults (simulation results), Novosibirsk, Nauka, 1983, 110 pp. [Шерман С. И., Борняков С. А., Буддо В. Ю. Области динамического влияния разломов (результаты моделирования). Новосибирск: Наука, 1983. 110 с.]

- **4. Seminsky K. Zh.** Internal structure of continental fault zones. Tectonophysical aspect, Novosibirsk, publishing house of SB RAS, Branch "Geo", 2003, 243 pp. [Семинский К. Ж. Внутренняя структура континентальных разломных зон. Тектонофизический аспект. Новосибирск: Изд-во СО РАН, Филиал "Гео", 2003. 243 c.]
- **5. Modern geodynamics** and oil and gas content, Moscow, Nauka, 1989, 199 pp. [Современная геодинамика и нефтегазаносность. М.: Наука, 1989. 199 с.]
- **6. Kanamori H. and Brodsky E. E.** The physics of earthquakes, Reports on Progress in Physics, 2004, vol. 6, pp. 1429–1496. [**Канамори H., Бродский Е. Е.** Физика землетрясений: доклады о прогрессе в физике. 2004. Вып. 6. С. 1429–1496.]
- 7. **Kuzmin Yu. O.** Modern superintensive deformations of the earth's surface in the zones of platform faults, Geological Study and Use of the Subsurface, Moscow, Geoinformmark, 1996, Issue 4, pp. 43–53. [Кузьмин Ю. О. Современные суперинтенсивные деформации земной поверхности в зонах платформенных разломов // Геологическое изучение и использование недр. М.: Геоинформмарк, 1996. Вып. № 4. С. 43–53.]
- **8. Kuzmin Yu. O.** Modern anomalous geodynamics of aseismic fault zones, Department of Earth Sciences of the Russian Academy of Sciences, 2002, no. 1 (20), 27 pp. [**Кузьмин Ю. О.** Современная аномальная геодинамика асейсмичных разломных зон // ОНЗ РАН. 2002. № 1 (20). 27 с.]
- **9. Kuzikov S. I. and Mukhamediev Sh. A.** Structure of the field of modern speeds of the earth's crust in the area of the Central Asian GPS network, Physics of the Earth, 2010, no. 7, pp. 33−51. [**Кузиков С. И., Мухамедиев III. А.** Структура поля современных скоростей земной коры в районе Центрально-Азиатской GPS сети // Физика Земли. 2010. № 7. С. 33−51.]
- **10.** Vostrikov V. I., Polotnyanko N. S., Trofimov A. S., and Potoka A. A. Monitoring of the geomechanical state of rock massifs at the quarry of the diamond-bearing tube "Zarnitsa", Fundamental and Applied Mining Science, 2019, vol. 6, no. 2, pp. 35–39. [Востриков В. И., Полотнянко Н. С., Трофимов А. С., Потака А. А. Мониторинг геомеханического состояния массивов горных пород на карьере алмазоносной трубки "Зарница" // Фундаментальные и прикладные вопросы горных наук. 2019. Т. 6. № 2. С. 35–39.]